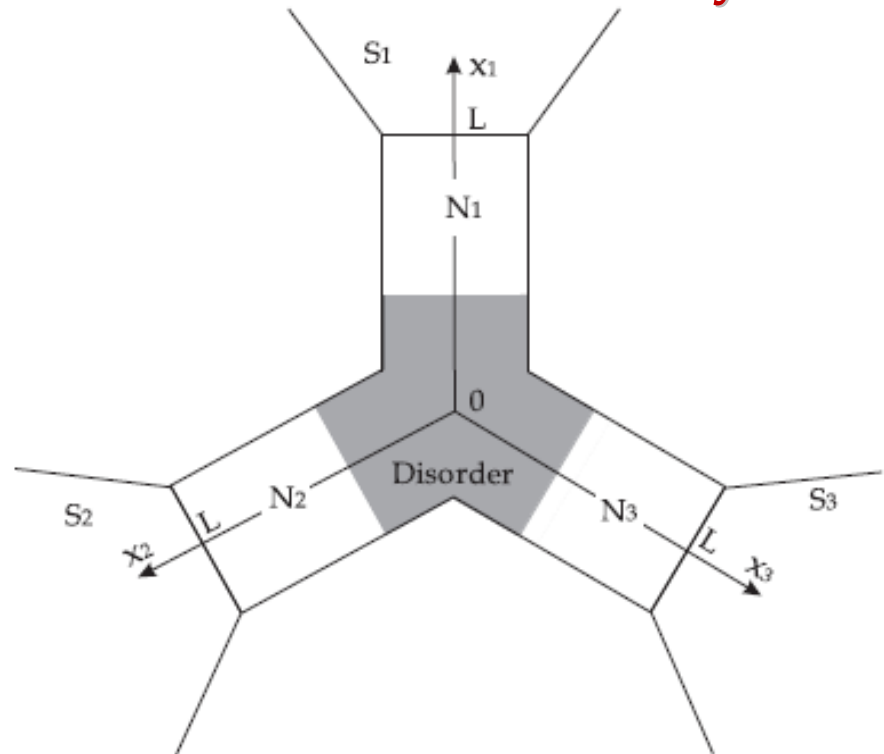


**ПРИМЕНЕНИЕ ФОРМАЛИЗМА МАТРИЦЫ РАССЕЯНИЯ  
К ТЕОРИИ ДЖОЗЕФСОНОВСКОГО ТРАНСПОРТА В  
МЕЗОСКОПИЧЕСКИХ МНОГОКОНТАКТНЫХ УЗЛАХ**

**Д.А. Савинов**

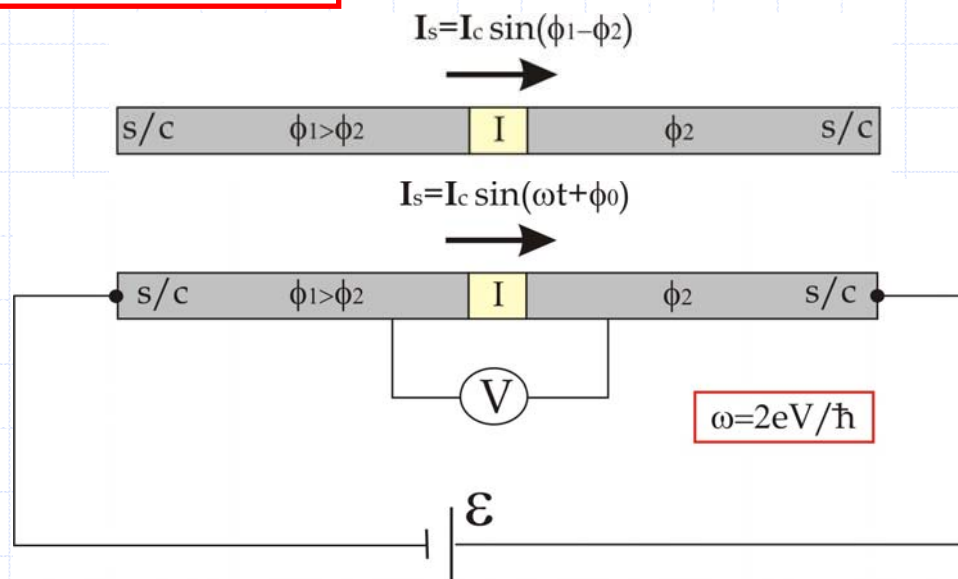


# Эффекты Джозефсона

В. D. Josephson, Phys. Lett. 1, 251 (1962)

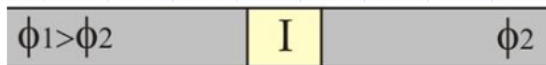
◆ Стационарный эффект Джозефсона

◆ Нестационарный эффект Джозефсона



## Типы джозефсоновских переходов

Туннельный контакт



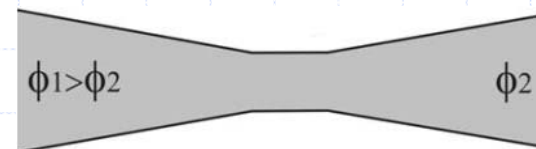
«SNS»-контакт



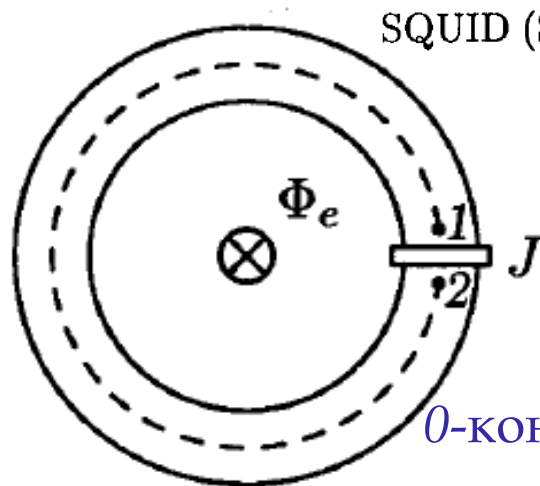
↗ или

**2DEG или графен**

Сверхпроводник с сужением



# «SFS»-контакт и $\pi$ -переход



SQUID (Superconducting Quantum Interference Device)

$$\Delta B \sim 10^{-9} - 10^{-10} \text{ (Гс)}$$

$$B_{\text{Земли}} \sim 1 \text{ (Гс)!}$$

См. работы Varone, Paterno и Лихарева

В отсутствие внешнего магнитного поля  
разность фаз на переходе отсутствует!



Без внешнего магнитного поля протекание тока невозможно.



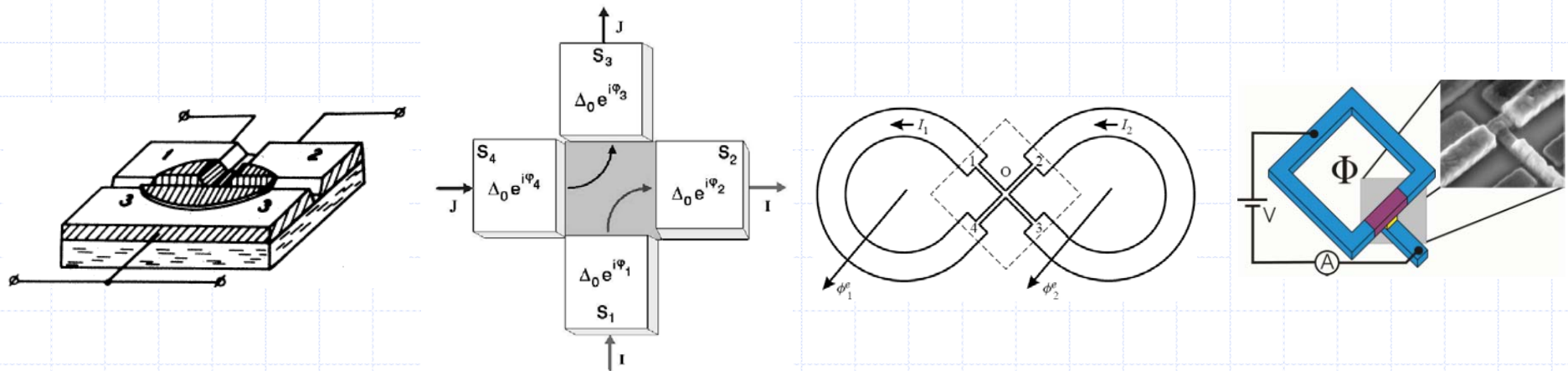
$\pi$ -контакт!

При замыкании в кольцо – возможен спонтанный (без внешнего магнитного поля) сверхпроводящий ток, поскольку разность фаз немного отлична от  $\pi$  в силу наличия в полной энергии не только джозефсоновской части, но и индуктивной.

A.I. Buzdin, L.N. Bulaevskii, S.V. Panyukov, JETP Lett. 35 (1982) 178

# Многоконтактные джозефсоновские структуры

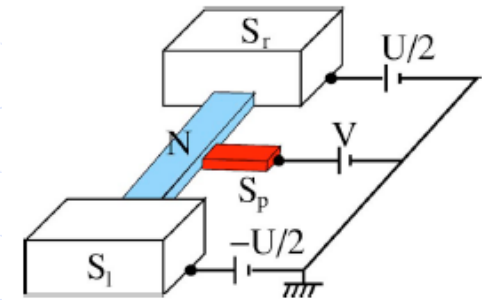
- K. K. Likharev, Rev. Mod. Phys. **51**, 101 (1979).  
R. B. Ouboter and A. N. Omelyanchouk, Physica B **205**, 153 (1995).  
M. Zareyan and A. N. Omelyanchouk, Fizika Nizkikh Temperatur **25**, 240 (1998).  
R. B. Ouboter and A. N. Omelyanchouk, Superlattices Microstruct. **24**, 1017 (1998).  
R. B. Ouboter and A. N. Omelyanchouk, Superlattices Microstruct. **25**, 1005 (1999).  
A. N. Omelyanchouk and M. Zareyan, Physica B **291**, 81 (2000).  
M. H. S. Amin, A. N. Omelyanchouk, and A. M. Zagoskin, Fizika Nizkikh Temperatur **27**, 835 (2001).  
M. H. S. Amin, A. N. Omelyanchouk, and A. M. Zagoskin, Physica C **372**, 178 (2001).  
M. Meschke, J. T. Peltonen, J. P. Pekola, and F. Giazotto, Phys. Rev. B **84**, 214514 (2011).  
F. Giazotto and F. Taddei, Phys. Rev. B **84**, 214502 (2011).  
A. V. Galaktionov, A. D. Zaikin, and L. S. Kuzmin, Phys. Rev. B **85**, 224523 (2012).  
A. V. Galaktionov and A. D. Zaikin, Phys. Rev. B **88**, 104513 (2013).



# Многоконтактные джозефсоновские структуры (результаты ранних исследований)

- ◆ Нетривиальные ток-фазовые соотношения

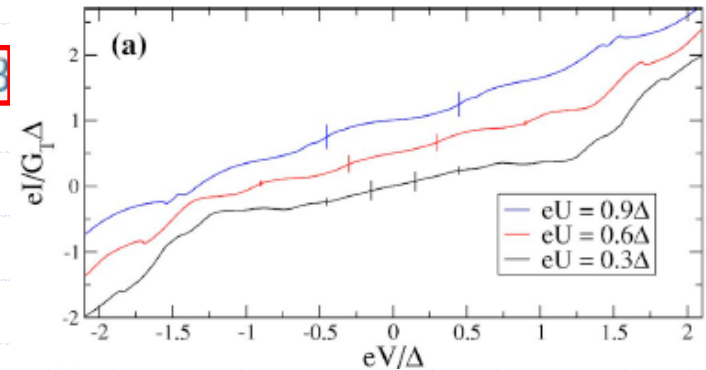
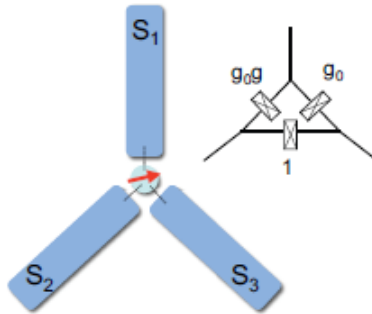
См. работы Омелянчука



- ◆ Индуцированные электрическим потенциалом ступени типа Шапиро

J.C. Cuevas, H. Pothier, Phys. Rev. B 75 (2007) 174513

- ◆  $\varphi$ -контакт



D. Feinberg, C.A. Balseiro, Phys. Rev. B 90 (2014) 075432

- ◆ Создание кубитов

N.K. Langford, R.B. Dalton, M.D. Harvey, J.L. O'Brien, G.J. Pryde, A. Gilchrist, et al., Phys. Rev. Lett. 93 (2004) 053601.

# Многоконтактные джозефсоновские структуры (методы теоретических расчетов)

◆ Теория Гинзбурга-Ландау → In the vicinity of the critical temperature  $\Theta_c$

См. работы Лихарева и Омелянчука

$$\Theta_c - \Theta \ll \Theta_c$$

◆ Метод туннельного гамильтониана

$\mathcal{H} = \mathcal{H}_L + \mathcal{H}_R + \mathcal{H}_T \rightarrow$  D. Feinberg, C.A. Balseiro, Phys. Rev. B 90 (2014) 075432

◆ Модель Эйленбергера  $l_s \gg \xi$

См. работы Омелянчука

→ нетривиальные ток-фазовые соотношения

φ-контакт

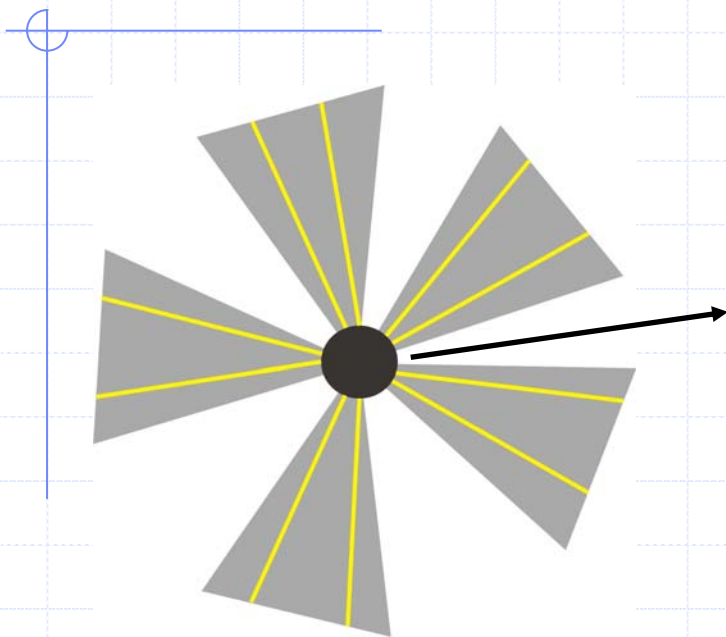
◆ Модель Узаделя  $l_s \ll \xi$

См. работы Галактионова,  
Заикина, Cuevas, Pothier

Результаты оказываются сильно зависящими от конфигурации системы и далеко не просто обобщаются при изменении размеров и формы джозефсоновского узла!

Более того, сами выкладки очень сложны и громоздки с математической точки зрения!

# Мотивация работы - альтернативный подход к изучению электронного транспорта



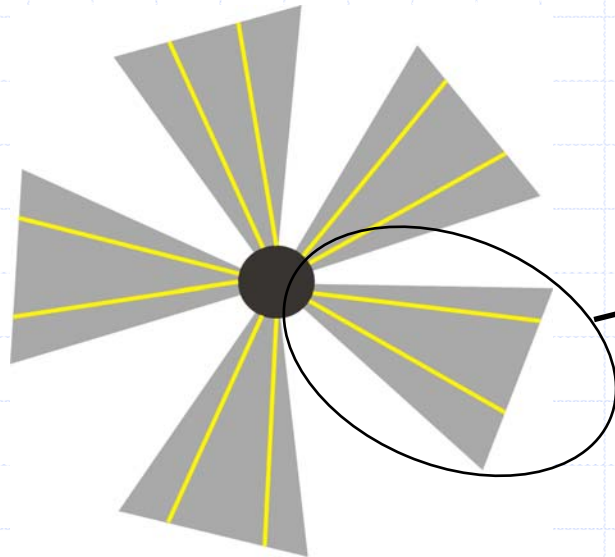
$$\hat{S} = \begin{pmatrix} \hat{S}_0(\varepsilon) & \hat{0} \\ \hat{0} & \hat{S}_0^+(-\varepsilon) \end{pmatrix}, \quad \hat{S}_0 = \begin{pmatrix} R_1 & T_{12} & \cdot & T_{1N} \\ T_{21} & R_2 & \cdot & T_{2N} \\ \cdot & \cdot & \cdot & \cdot \\ T_{N1} & T_{N2} & \cdot & R_N \end{pmatrix}$$

$$\hat{S}_0 \hat{S}_0^+ = \hat{1}$$

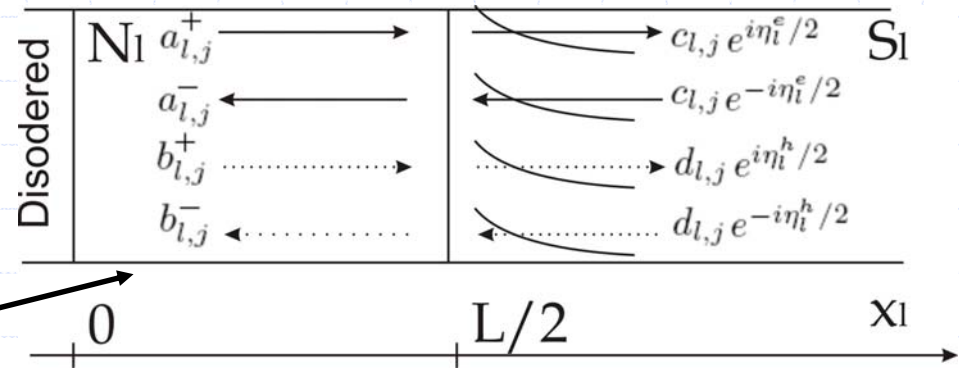
Данный подход требует существенно меньших расчетов, нежели модели Эйленберга и Узаделя, позволяя при этом сохранить информативность полученных результатов!

# Постановка решаемой задачи

short-disordered-junction regime:  $\ell \ll L \ll \xi$



$n$  terminals



$$\begin{cases} \begin{pmatrix} H & \Delta \\ \Delta^* & -H \end{pmatrix} \Psi = \varepsilon \Psi \\ H = \mathbf{p}^2/2m^* - E_F \end{cases}$$

$$\varepsilon_p \longrightarrow I_l(\varepsilon_p)$$

$n=2$

C. W. J. Beenakker, Phys. Rev. Lett. **67**, 3836 (1991).



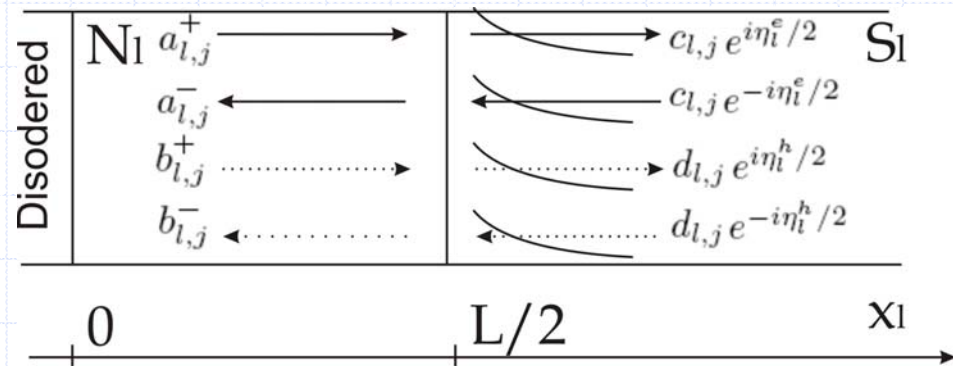
# Волновые функции и их «сшивка»

In the  $l$ -th normal terminal  $N_l$

**n terminals**

$$\begin{cases} \Psi_{l,j,e}^{\pm}(\mathbf{r}_l) = a_{l,j}^{\pm} \begin{pmatrix} 1 \\ 0 \end{pmatrix} \Phi_{l,j}^{(N)}(\mathbf{r}_l^{\perp}) \exp[\pm i k_{l,j}^e (x_l - L/2)] \\ \Psi_{l,j,h}^{\pm}(\mathbf{r}_l) = b_{l,j}^{\pm} \begin{pmatrix} 0 \\ 1 \end{pmatrix} \Phi_{l,j}^{(N)}(\mathbf{r}_l^{\perp}) \exp[\pm i k_{l,j}^h (x_l - L/2)] \end{cases}$$

$$k_{l,j}^{e,h} \sim k_F$$



In the  $l$ -th superconducting terminal  $S_l$

$$\begin{cases} \Psi_{l,j,e}(\mathbf{r}_l) = c_{l,j} \begin{pmatrix} e^{i\eta_l^e/2} \\ e^{-i\eta_l^e/2} \end{pmatrix} \Phi_{l,j}^{(S)}(\mathbf{r}_l^{\perp}) \exp[i q_{l,j}^e (x_l - L/2)] \\ \Psi_{l,j,h}(\mathbf{r}_l) = d_{l,j} \begin{pmatrix} e^{i\eta_l^h/2} \\ e^{-i\eta_l^h/2} \end{pmatrix} \Phi_{l,j}^{(S)}(\mathbf{r}_l^{\perp}) \exp[-i q_{l,j}^h (x_l - L/2)] \end{cases}$$

$$q_{l,j}^{e,h} \sim k_F \pm i/\xi$$

# Результаты решения задачи рассеяния

$$\text{Det}(\widehat{1}e^{2i\delta} - \widehat{M}) = 0$$

**n terminals**

$$\delta = \arccos(\varepsilon/\Delta_0)$$

$$\left\{ \begin{array}{l} M_{s_1 s_1} = 1 + \sum_{s_2=1}^N |T_{s_1 s_2}|^2 [\exp(i\varphi_{s_1 s_2}) - 1] \\ M_{s_1 s_2} = [\exp(i\varphi_{s_2 s_1}) - 1] T_{s_1 s_2} R_{s_2} + \sum_{s_3=1}^N [\exp(i\varphi_{s_3 s_2}) - 1] T_{s_1 s_2} T_{s_1 s_3} \end{array} \right.$$

$$\sum_{p=1}^m \varepsilon_p^2 = \Delta_0^2 \left[ m - \frac{1}{2} \sum_{s_1, s_2=1}^N |T_{s_1 s_2}|^2 \sin^2 \left( \frac{\varphi_{s_1 s_2}}{2} \right) \right]$$

$$\left\{ \begin{array}{l} m = N/2 \text{ for even number of single-mode channels} \\ m = (N - 1)/2 \text{ for odd number of single-mode channels} \end{array} \right.$$

# Сверхток в многоконтактном джозефсоновском узле

short-disordered-junction regime:  $l \ll L \ll \xi$

**n terminals**

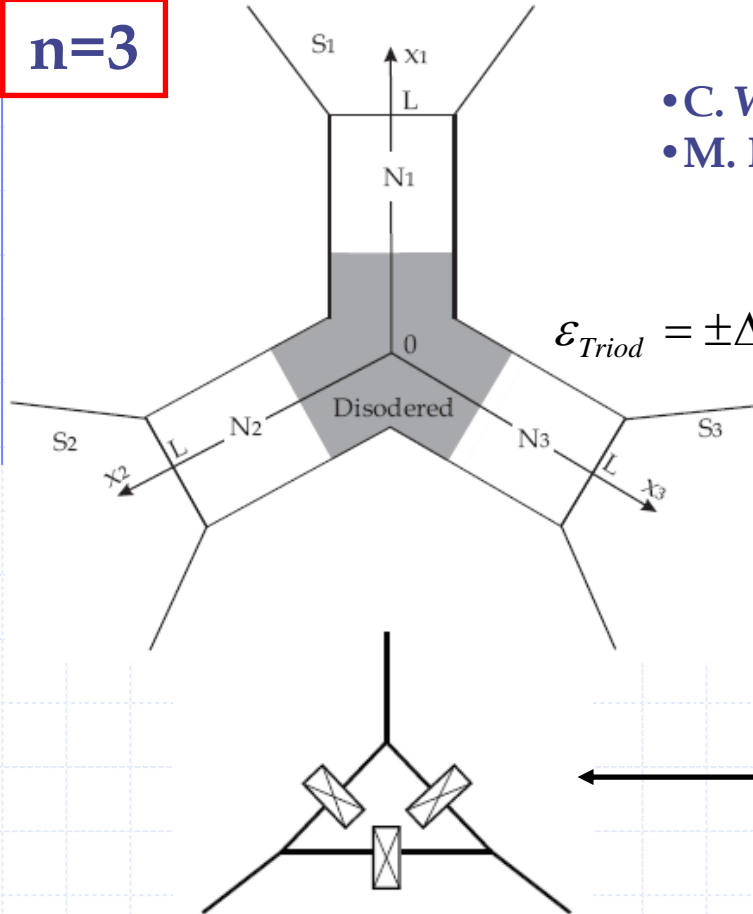
$$I_l = \frac{2e}{\hbar} \sum_{p=1}^m \sum_{k=1, k \neq l}^n \tanh(\varepsilon_p/2k_B\Theta) \frac{\partial \varepsilon_p}{\partial \phi_{lk}}$$

**n=2**

$$\rightarrow I_l = \frac{2e}{\hbar} \sum_{p=1}^m \tanh(\varepsilon_p/2k_B\Theta) \frac{\partial \varepsilon_p}{\partial \phi} \xrightarrow{\theta \sim \theta_c} \sin(\phi)$$

# Джозефсоновский триод

**n=3**



## Одномодовый режим

- C. W. J. Beenakker, Phys. Rev. Lett., 112, 070604, 2014
- M. Popinciuc, et al., Phys. Rev. B, 85, 205404, 2012

## Спектры

$$\varepsilon_{Triod} = \pm \Delta_0 \sqrt{1 - T [\sin^2(\phi_{12}/2) + \sin^2(\phi_{13}/2) + \sin^2(\phi_{23}/2)]}$$

$$\varepsilon_{Diod} = \pm \Delta_0 \sqrt{1 - T \sin^2(\phi_{12}/2)}$$

## Токи

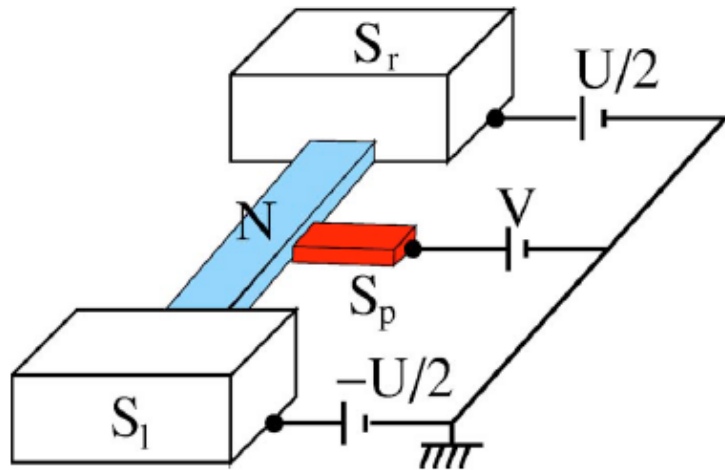
$$\theta \cong \theta_c$$

$$I_1 = \frac{e\Delta_0}{\hbar} \frac{\Delta_0 T}{4k_B \theta_c} [\sin(\phi_{21}) + \sin(\phi_{31})]$$

**Многомодовый режим** →  $\sin(\phi_{21}), \sin(\phi_{31}), \sin(2\phi_{21}), \sin(2\phi_{31}), \sin(\phi_{21} + \phi_{31}), \sin(\phi_{21} + \phi_{23}), \sin(\phi_{31} - \phi_{23})$

# Ступени типа Шапиро

J.C. Cuevas, H. Pothier, Phys. Rev. B 75 (2007) 174513



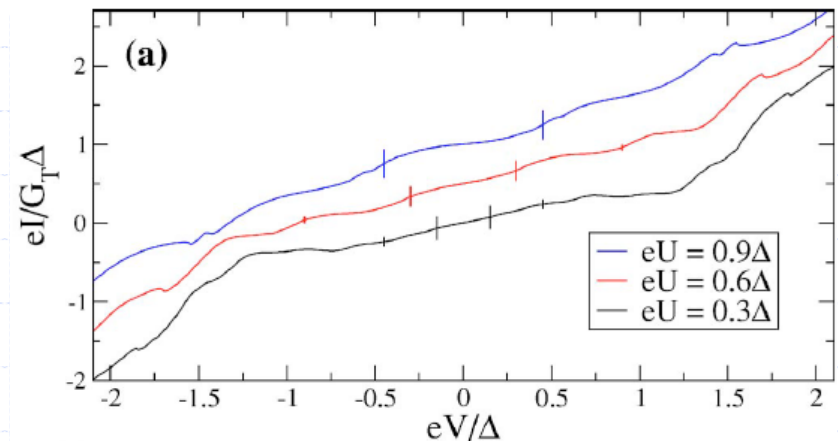
$$V = mU/2$$

$$\sin(\phi_{21}), \sin(\phi_{31}), \sin(2\phi_{21}), \sin(2\phi_{31}),$$

$$\sin(\phi_{21} + \phi_{31}), \sin(\phi_{21} + \phi_{23}), \sin(\phi_{31} - \phi_{23})$$

$$\frac{\hbar D}{\pi} \nabla (\check{G} \circ \nabla \check{G}) + \epsilon \hat{\tau}_3 \check{G} - \check{G} \hat{\tau}_3 \epsilon' = 0,$$

$$\check{G} = \begin{pmatrix} \hat{G}^R & \hat{G}^K \\ 0 & \hat{G}^A \end{pmatrix}, \quad \hat{G}^R = \begin{pmatrix} \mathcal{G}^R & \mathcal{F}^R \\ \tilde{\mathcal{F}}^R & \tilde{\mathcal{G}}^R \end{pmatrix}.$$



# Развитие многотерминальных систем сейчас (2015 год)

## Multi-terminal Josephson junctions as topological materials

Roman-Pascal Riwar\*, Manuel Houzet, Julia S. Meyer

*Univ. Grenoble Alpes, INAC-SPSMS, F-38000 Grenoble, France,*

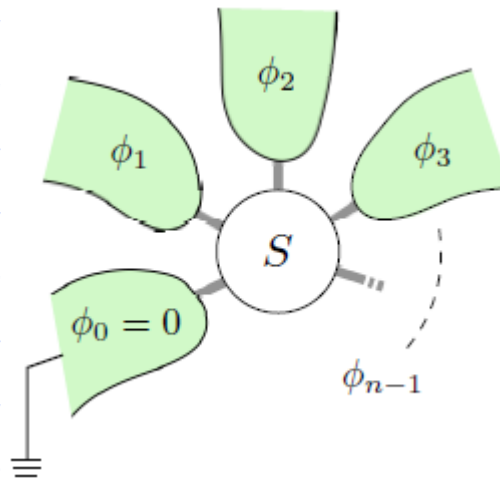
*CEA, INAC-SPSMS, F-38000 Grenoble, France*

Yuli V. Nazarov

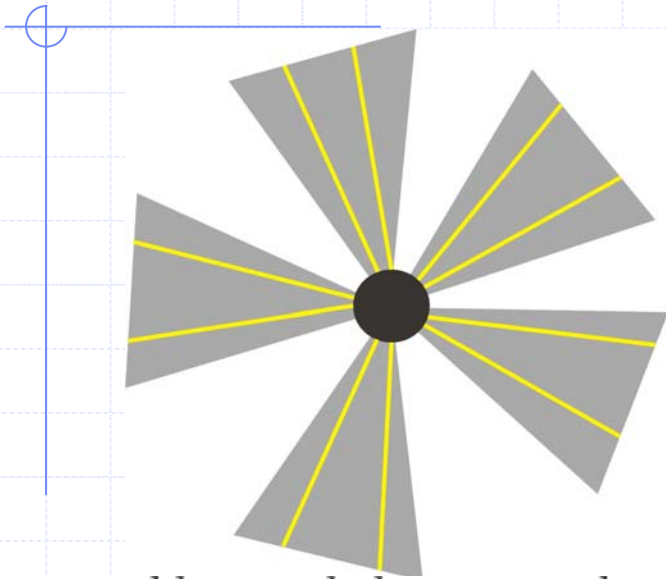
*Kavli Institute of NanoScience, Delft University of Technology,*

*Lorentzweg 1, NL-2628 CJ, Delft, The Netherlands.*

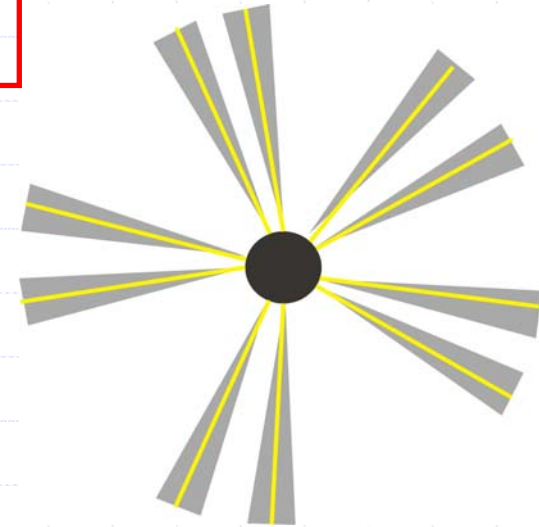
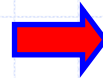
(Dated: March 25, 2015)



# Задача рассеяния



**n terminals**



$n$  weakly coupled superconducting banks

$N = n\nu$  weakly coupled superconducting single-mode channels

$$\hat{S} = \begin{pmatrix} \hat{S}_0(\varepsilon) & \hat{0} \\ \hat{0} & \hat{S}_0^+(-\varepsilon) \end{pmatrix}, \quad \hat{S}_0 = \begin{pmatrix} R_1 & T_{12} & \dots & T_{1N} \\ T_{21} & R_2 & \dots & T_{2N} \\ \vdots & \vdots & \ddots & \vdots \\ T_{N1} & T_{N2} & \dots & R_N \end{pmatrix}$$

$$\varphi_s = \begin{cases} \phi_1, & \text{if } s = 1, \dots, \nu; \\ \phi_2, & \text{if } s = \nu + 1, \dots, 2\nu; \\ \vdots & \\ \phi_n, & \text{if } s = N - \nu, \dots, N. \end{cases}$$

$$\hat{S}_0 \hat{S}_0^+ = \hat{1}$$

# Shapiro-like steps. Types.

$$I_1 = i_{213} \sin(\phi_{21}) + i_{312} \sin(\phi_{31}) - i_{21} \sin(2\phi_{21}) - i_{31} \sin(2\phi_{31}) \\ - 2i_{31}^{21} \sin(\phi_{21} + \phi_{31}) - i_{23}^{21} \sin(\phi_{21} + \phi_{23}) - i_{23}^{31} \sin(\phi_{31} - \phi_{23}) .$$

## 1 Integer dc steps

$$\left\{ \begin{array}{l} V_{\kappa_1^{(k)}} = \frac{\hbar \kappa_1^{(k)}}{2e} \omega_T \mp \frac{U}{2} \\ \overline{I_1[\tilde{\phi}_{k1}, \phi_{k1}^{(0)}]_{\kappa_1^{(k)}}} = \left| i_{k1q} J_{\kappa_1^{(k)}}(\tilde{\phi}_{k1}) \sin[\phi_{k1}^{(0)}] - i_{k1} J_{2\kappa_1^{(k)}}(2\tilde{\phi}_{k1}) \sin[2\phi_{k1}^{(0)}] \right| \end{array} \right.$$

## 2 Semi-integer dc steps

$$\left\{ \begin{array}{l} V_{\kappa_2^{(k)}} = \frac{\hbar \kappa_2^{(k)}}{4e} \omega_T \mp \frac{U}{2} \\ \overline{I_1[\tilde{\phi}_{k1}, \phi_{k1}^{(0)}]_{\kappa_2^{(k)}}} = \left| i_{k1} J_{2\kappa_2^{(k)}}(2\tilde{\phi}_{k1}) \sin[2\phi_{k1}^{(0)}] \right| \end{array} \right.$$



# Shapiro-like steps. Types.

$$I_1 = i_{213} \sin(\phi_{21}) + i_{312} \sin(\phi_{31}) - i_{21} \sin(2\phi_{21}) - i_{31} \sin(2\phi_{31}) - 2i_{31}^{21} \sin(\phi_{21} + \phi_{31}) - i_{23}^{21} \sin(\phi_{21} + \phi_{23}) - i_{23}^{31} \sin(\phi_{31} - \phi_{23}) .$$

## 3 Shapiro-like steps at combination frequencies

$$\left\{ \begin{array}{l} V_{\kappa_3} = \frac{\hbar \kappa_3}{4e} \omega_r \\ \overline{I_1(\tilde{\phi}_{21} + \tilde{\phi}_{31}, \phi_{21}^{(0)} + \phi_{31}^{(0)})}_{\kappa_3} = 2i_{31}^{21} \left| J_{\kappa_3}(\tilde{\phi}_{21} + \tilde{\phi}_{31}) \right| \sin[\phi_{21}^{(0)} + \phi_{31}^{(0)}] \end{array} \right.$$

$$\left\{ \begin{array}{l} V_{\kappa_4^{(k)}} = \frac{\hbar \kappa_4^{(k)}}{2e} \omega_r \mp \frac{3U}{2} \\ \overline{I_1(\tilde{\phi}_{k1} \pm \tilde{\phi}_{23}, \phi_{k1}^{(0)} \pm \phi_{23}^{(0)})}_{\kappa_4^{(k)}} = i_{23}^{k1} \left| J_{\kappa_4^{(k)}}(\tilde{\phi}_{k1} \pm \tilde{\phi}_{23}) \right| \sin(\phi_{k1}^{(0)} \pm \phi_{23}^{(0)}) \end{array} \right.$$